

## 16 Integrable & nicht-integrable Systeme, Chaos

### 16.1 Integrabilität

Ein System mit  $n$  Freiheitsgraden heißt integrabel, wenn es  $n$  unabhängige Erhaltungsgrößen  $f_i$  ( $i = 1 \dots n$ ) gibt, deren Poissonklammern verschwinden:  $\{f_i, f_j\} = 0$ .

- Dann lässt sich eine kanon. Trf. finden, so dass  $f_i = P_i$  die neuen kanonischen Impulse sind.
- Die obige Forderung  $\{f_i, f_j\}_{in p,q} = 0$  ist dafür notwendig, da  $\{P_i, P_j\}_{P,Q} = 0$  ganz allgemein gilt ("kanonische Poiss.-rel. Relationen) und da die kanon. Trf.  $p, q \rightarrow P, Q$  Poissonklammern respektiert.

Letzteres machen wir uns am Beispiel infinitesimaler kanon. Trf.-etwas klar (endliche kanon. Trf.-er kann man sich meist aus infinitesimalen zusammengesetzt denken).

Sei  $P = p + \Delta p$ ,  $Q = q + \Delta q$  eine kleine kanon. Trf., die durch  $F_2 = qP + \varepsilon G(q, P)$  generiert wird. Fasse  $G$  als Pkt. von  $q, p$  auf und subtrahiere: (für beliebige Observable  $F, J$ )

$$\Delta F = F(q + \Delta q, p + \Delta p) - F(q, p) = \varepsilon \{F, G\}$$

$$\Delta \{F, J\} = \varepsilon \{\{F, J\}, G\} = \varepsilon \left\{ \left\{ \overset{\uparrow}{\{F, G\}}, J \right\} + \varepsilon \{F, \{J, G\}\} \right\}$$

Jacobi-Jd.

$$= \{F + \Delta F, J + \Delta J\} - \{F, J\}$$

$$\text{bzw. } \{F, J\} + \Delta \{F, J\} = \{F + \Delta F, J + \Delta J\}$$

$\Rightarrow$  Es ist egal, ob man erst kanon. transformiert und dann die Poissonkommute bildet oder umgekehrt

138

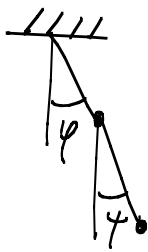
- $\dot{P}_i = 0 = -\frac{\partial H'}{\partial Q_i}$  impliziert, daß die neue Hamiltonfunktion nicht von den  $Q_i$  abhängt ("alle  $Q_i$  sind zyklisch").
- Die Bewegung ist sehr einfach:  $\dot{Q}_i = \frac{\partial H(P)}{\partial P_i} = \text{const.}$   
 $\Rightarrow Q_i = Q_i^0 + t \cdot \frac{\partial H(P)}{\partial P_i}$

### Beispiele integrabler Systeme:

- 1-dim. Bewegung:  $n=1$ , 1 Erhaltungsgröße:  $H$
- 2-Körper-Problem:  $n=6$ , 6 Erhaltungsgrößen:  $H, \bar{P}, L_z, L^2$  (Zentralpotential)  
 $(L_x, L_y$  nützen hier nichts, da  $\{L_x, L_z\} \neq 0, \{L_y, L_z\} \neq 0)$

### Beispiel für nicht-integrables System:

- Doppelpendel



,  $n=2$ , 1 Erhaltungsgröße:  $H$

(Natürlich ist jede Fkt.  $f(H)$ , z.B.  $H^2$ , auch erhalten, aber dies ist dann nicht von  $H$  unabhängig.)

### Explizite Durchführung des Überganges zu den neuen Variablen

$$P_i = p_i \quad \& \quad Q_i:$$

gegeben  $H(q_1 \dots q_n, p_1 \dots p_n)$  &  $n$  Erhaltungsgrößen  $f_i(q, p)$

- Definiere  $P_i = f_i(q, p)$  für  $i = 1 \dots n$  und löse nach den  $p_i$  auf:  $\Rightarrow p_i = p_i(q, P)$  (mit  $P = P_1, \dots, P_n$ )

- Bezeichne mit  $\{q_i\}$  einen Punkt im  $n$ -dimensionalen Konfigurationsraum. Sei  $\{q_i^0\}$  ein beliebiger aber fest gewählter derartiger Punkt. Definiere:

$$F_2 = F_2(q, P) = \int_{\{q_i^0\}}^{\{q_i\}} \sum_j dq_j' \cdot p_j(q', P)$$

Linienintegral im Konfigurationsraum

- Zentrale Behauptung ("Lemma"):

Dieses Integral hängt nicht vom Weg ab.

[Dies ist analog zum Linienintegral, das in der Definition des Potentials einer konservativen Kraft ( $\rightarrow 2.3$ ) auftritt. Die Voraussetzung für die Wegunabhängigkeit ist im Fall  $n=3$  ganz analog:  $\operatorname{rot}_{\bar{q}} \bar{p}(\bar{q}, \bar{P}) = 0$  ( $\bar{q} = (q_1, q_2, q_3)$  etc.)]

- für beliebige  $n$ :  $\frac{\partial p'_i}{\partial q_j} - \frac{\partial p_j}{\partial q_i} = 0$

- dies lässt sich unter Ausnutzung von  $\{P_i, P_j\} = 0$  nachrechnen ( $\rightarrow$  Nebenrechnung auf nächster Seite). ]

- Wenn wir nun die Wegunabhängigkeit obiger Definition von  $F_2$  akzeptieren, so können wir den Weg so wählen, daß das letzte Wegstück parallel zur  $q_k$ -Achse verläuft:

$$\Rightarrow \frac{\partial F_2}{\partial q_k} = \frac{\partial}{\partial q_k} \left[ \int^{q_k} dq'_k p_k(q_1, \dots, q'_k, \dots, q_n, P) + \dots \right] = p_k$$

### Nebenbedingung:

- Wir wollen zeigen, daß  $\frac{\partial p'_i}{\partial q_j} - \frac{\partial p'_j}{\partial q_i} = 0$   
 wobei hier  $p'_i = p_i(q, P)$ .  
 $\nwarrow \uparrow$
- Mit anderen Worten: Es ist zu zeigen, daß die  $n \times n$ -Matrix  
 $(\frac{\partial p}{\partial q})$  symmetrisch ist.
- Einsetzen von  $P_i = P_i(q, p)$  in  $p_{ij} = p_j(q, P)$  liefert die Identität
 
$$p_i(q_1, \dots, q_n, P_1(q_1 \dots q_n), \dots, P_n(q_1 \dots q_n)) = p_j.$$
- Partielles Ableiten nach  $p_i$  liefert  $\frac{\partial p_j}{\partial P_k} \cdot \frac{\partial P_k}{\partial p_i} = \delta_{ij}$   
 bzw. (in Matrix-Schreibweise):
 
$$\left(\frac{\partial p}{\partial P}\right) \left(\frac{\partial P}{\partial p}\right) = \mathbb{1} \quad (*)$$
- Partielles Ableiten nach  $q_i$  liefert  $\frac{\partial p_i}{\partial q_i} + \frac{\partial p_i}{\partial P_k} \cdot \frac{\partial P_k}{\partial q_i} = 0$ .  
 hier wird, wie oben,  $p_j(q, P)$  bei festem  $P$  abgeleitet.
- In Matrixschreibweise:  $\left(\frac{\partial p}{\partial q}\right) + \left(\frac{\partial p}{\partial P}\right) \left(\frac{\partial P}{\partial q}\right) = 0$ .
- Wir brauchen jetzt nur noch zu zeigen, daß die Matrix  $A = \left(\frac{\partial p}{\partial P}\right) \left(\frac{\partial P}{\partial q}\right)$  symm. ist, da dann die Symmetrie der Matrix  $\left(\frac{\partial p}{\partial q}\right)$  folgt.

(Fortsetzung der Nebenrechnung)

- Mit (\*) finden wir  $A = \left(\frac{\partial P}{\partial p}\right)^{-1} \left(\frac{\partial P}{\partial q}\right)$ .
- Das Verschwinden der Poissonklammern der  $P_i$ 's,

$$\frac{\partial P_i}{\partial q_k} \cdot \frac{\partial P_j}{\partial p_k} = \frac{\partial P_i}{\partial p_k} \cdot \frac{\partial P_j}{\partial q_k},$$

bedeutet in Matrixschreibweise

$$\left(\frac{\partial P}{\partial q}\right) \left(\frac{\partial P}{\partial p}\right)^T = \left(\frac{\partial P}{\partial p}\right) \left(\frac{\partial P}{\partial q}\right)^T.$$

- Daraus folgt  $\left(\frac{\partial P}{\partial p}\right)^{-1} = \left(\frac{\partial P}{\partial q}\right)^T \left(\frac{\partial P}{\partial p}\right)^{T,-1} \left(\frac{\partial P}{\partial q}\right)^T$ .
- Für  $A$  ergibt sich damit

$$\begin{aligned} A &= \left(\frac{\partial P}{\partial q}\right)^T \left(\frac{\partial P}{\partial p}\right)^{T,-1} \left(\frac{\partial P}{\partial q}\right)^{-1} \left(\frac{\partial P}{\partial q}\right) = \left(\frac{\partial P}{\partial q}\right)^T \left(\frac{\partial P}{\partial p}\right)^{T,-1} \\ &= \left[ \left(\frac{\partial P}{\partial p}\right)^{-1} \cdot \left(\frac{\partial P}{\partial q}\right) \right]^T = A^T. \quad \checkmark \end{aligned}$$

- Wenn wir noch die neuen Koordinaten  $Q_i'$  durch

140

$$Q_i' = \frac{\partial F_2}{\partial P_i} \text{ definieren, folgt dann}$$

$F_2(q, p)$  die kanon. Trf. erzeugt, welche zu  $Q_i' \& P_i' = f_i$  führt.

Dies schließt die Demonstration des expliziten Überganges zu den kanon. Impulsen  $P_i' = f_i$  ab.

Wichtige Tatsache (ohne Beweis)

Im integrablen Fall findet die allgemeinste komplexe Bewegung auf einem Torus ( $T^n$ ) statt.

$$\underline{n=1}: \quad T^1 = S^1 \text{ (Kreis)} : \quad Q = \varphi, \quad \varphi \in [0, 2\pi)$$

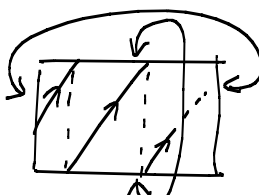
$$\text{Bewegung: } \varphi = \varphi_0 + t \cdot \text{const.}$$

$$\underline{n=2}: \quad T^2,$$



( $T^2$  einge-  
bettet in  $\mathbb{R}^3$ )

oder

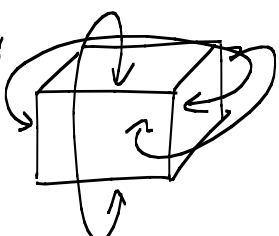


( $T^2$  definiert durch Identifi-  
kation gegenüberliegender  
Seiten.)

(nicht periodisch sondern

"quasiperiodisch", Bewegung  
ist. i.A. "ergodisch")

$$\underline{n=3}: \quad T^3:$$



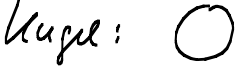
Wieder: Quader mit Identifikation  
gegenüberliegender Seiten.

(analog für  $n > 3$ )

## 16.2 Chaos

- Betrachte eine kleine Bewegung eines kleinen sphärischen Volumens im Phasenraum:

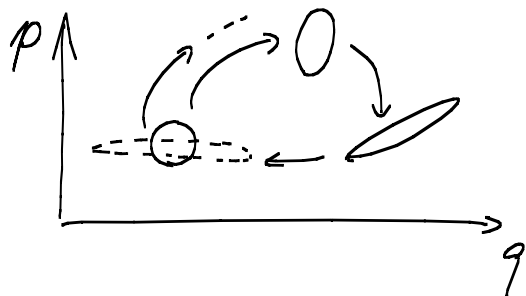
$$V(t=0) \sim r^{2n} \quad \longrightarrow \quad V(t \neq 0) = V(t=0) \quad (\text{Liouville})$$

Kugel:  Ellipsoid: 

(Radius  $r$ ) (Halbachsen  $q_i$ )

(dies gilt nur im Grenzwert  $r \rightarrow 0$  bei festem  $t$ )

- Gesamtbild:



Da diese Dynamik von Dgl'en 1. Ordnung beschrieben wird, ist schnellstmögliche Wachstum von Abständen exponentiell:

$$q_i(t) \sim e^{\lambda_i t} r$$

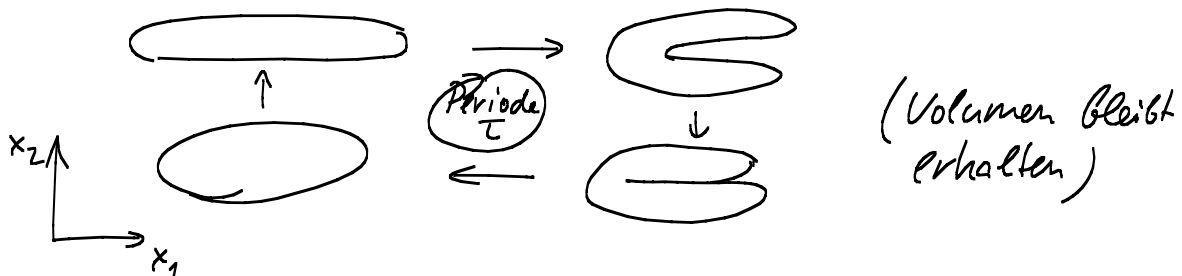
- Die hierbei auftretenden  $\lambda_i$  heißen "Gyapunov-Exponenten".

- Schätere Definition:  $\lambda_i = \lim_{t \rightarrow \infty} \lim_{r \rightarrow 0} \frac{1}{t} \ln \left( \frac{q_i(t)}{r} \right)$
- Wegen des Satzes v. Liouville gilt:

$$\prod_{i=1}^{2n} (e^{\lambda_i t} r) = r^{2n} \Rightarrow \sum_{i=1}^{2n} \lambda_i = 0$$

- Für integrale Systeme ist nur lineares Wachstum möglich (weil  $P_i = \text{const.}$ ,  $Q_i = \text{const.} \Rightarrow Q_i = t \cdot \text{const.} + Q_i^0$ )
- $\Rightarrow \lambda_i = 0$  für  $i = 1 \dots 2n$  (weil  $\lim_{t \rightarrow \infty} \frac{1}{t} \ln t = 0$ ).

- Chaotische Systeme sind dadurch definiert, daß für mindestens ein  $i$  gilt:  $\lambda_i > 0$
- Da der Fall  $n=1$  stets integrierbar ist, kann man kein anschauliches Beispiel im 2-dim. Phaserraum geben. Ein etwas künstliches Beispiel (keine echte hamiltonsche Dynamik) liefert die "Bäcker-Transformation"



Berechne horizontalen Abstand zweier benachbarter Punkte (Abstand  $r$  bei  $t=0$ ) nach  $N$  Perioden:

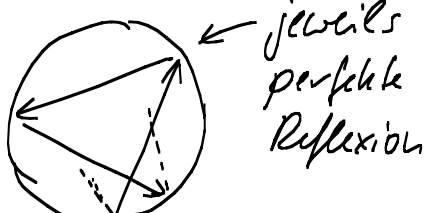
$$a_1 = 2^N r = 2^{t/\tau} r$$

$$\lambda_1 = \lim_{t \rightarrow \infty} \lim_{r \rightarrow 0} \frac{1}{t} \ln \left( \frac{2^{t/\tau} r}{r} \right) = \frac{1}{\tau} \cdot \ln \tau > 0$$

$\Rightarrow$  Chaos

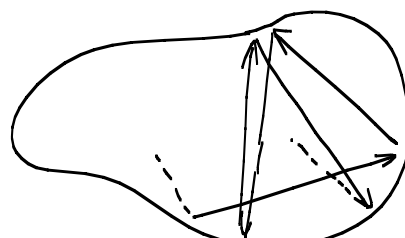
- anderes Beispiel: "Billiard"

Kreis Billiard:



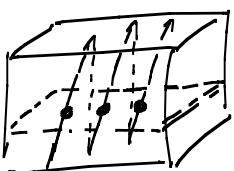
$H, L$  erhalten  $\Rightarrow$  integrierbar

allgemeines Billiard

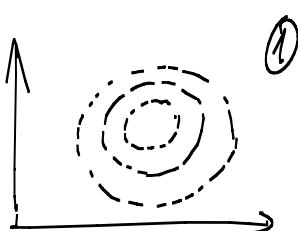


nur  $L$  erhalten, i.A. Chaos

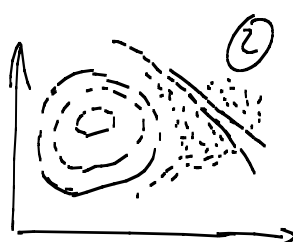
- Eine Methode zur Veranschaulichung chaotischen Verhaltens in echten hamiltonischen Systemen ( $n \geq 2$ ) sind die Poincare-Schnitte (Poincare slices):
- $n=2$  (z.B. Doppelpendel)  $\Rightarrow$  Phaserraum 4-dimensional
- Hier erhalten  $\Rightarrow$  Einschränkung auf 3-dim. Unterräume mit jeweils konstanter Energie.

z.B.  $T^3$ :  wähle bestimmten 2-dim. Unterraum aus

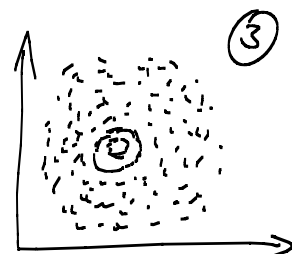
↑  
Die Trajektorie durchläuft den Poincare-Schnitt viele Male. Zeichne diese Punkte in der Poincare-Ebene ein und betrachte das nach langer Zeit entstehende Muster!



Poinc.-Schnitt für  
Doppelpendel bei  
kleiner Auslenkung  
(sidematisch)



→ Auslenkung nimmt zu  
(Übergang zum Chaos)



"KAM:"  
nach  
Kolmogorov  
Arnold  
Moser, '54- '67

Beim Übergang vom "lokalen" zum "globalen" Chaos (wie etwa ②  $\rightarrow$  ③ im Bild) werden sogenannte "KAM-Tori", die verschied. chaotische Regionen trennen, "zerbrochen."